

# User Guide para ajuste de gradiente de abundância

André Felipe de Siqueira Cardoso, PhD

## Contents

<b>1</b>	<b>Introdução</b>	<b>1</b>
<b>2</b>	<b>Como utilizar o script</b>	<b>1</b>
<b>3</b>	<b>Explicação passo a passo das tarefas</b>	<b>3</b>
3.1	distance.py	3
3.2	abundance.py	3
3.3	criteria.py	4
3.4	models.py	5
3.5	plot.py	6
<b>4</b>	<b>Exemplo</b>	<b>6</b>

## 1 Introdução

Este guia serve como um apoio para a utilização do script do ajuste do perfil de gradientes de abundância de oxigênio, utilizando métodos indiretos. A ideia é que o usuário forneça as informações sobre as galáxias e o script fará, automaticamente, sem a supervisão humana, o ajuste do gradiente de abundância. O melhor modelo será definido com base no critério de Akaike ([Akaike, 1973](#)), avaliando se o perfil é linear, quebrado ou duplamente quebrado. Para uma melhor visualização do resultado esperado, confira os ajustes realizados em [Cardoso et al. \(2025\)](#).

## 2 Como utilizar o script

Este script foi pensado para automatizar os cálculos de abundâncias de oxigênio, bem como ajustar o melhor modelo do gradiente de abundância. A ideia é que o usuário insira informações necessárias da galáxia para esse tipo de análise, como os fluxos, ra e dec, por exemplo. O usuário deve fazer o download dos seis arquivos .py disponíveis no GitHub e salvá-los todos no mesmo diretório onde será utilizado esse script. O arquivo fit\_OH.py é o arquivo que compila todos os outros cinco arquivos e realiza a tarefa. Dentro deste arquivo fit\_OH.py é definido a função fit\_final(...) que deve ser utilizada para rodar o script. Abaixo são apresentadas todas as informações necessárias para utilizar esse script.

```
fit_OH.fit_final(  
name = nome da galáxia (sem espaços),  
HIIREGID = array com o ID de cada região HII,  
ra = array da ascensão reta de cada região HII em graus,  
ra0 = ascensão reta do centro da galáxia em graus,  
dec = array da declinação de cada região HII em graus,
```

```

dec0 = declinação do centro da galáxia em graus,
pa = ângulo de posição em graus,
ba = razão entre os semi-eixos menor e maior da galáxia,
d = distância da galáxia em Mpc,
re = raio efetivo da galáxia em kpc,
EWHa = array contendo a largura equivalente de cada região HII em Angstroms (\AA),
Hb4861 = array com o fluxo de H$\beta$,
eHb4861 = array com o erro do fluxo de H$\beta$,
Ha6562 = array com o fluxo de H$\alpha$,
eHa6562 = array com o erro do fluxo de H$\alpha$,
OIII5006 = array com o fluxo de OIII5006,
eOIII5006 = array com o erro do fluxo de OIII5006,
NII6583 = array com o fluxo de NII6583,
eNII6583 = array com o erro do fluxo de NII6583,
SII6716 = array com o fluxo de SII6716,
eSII6716 = array com o erro do fluxo de SII6716,
SII6730 = array com o fluxo de SII6730,
eSII6730 = array com o erro do fluxo de SII6730,
calibrator = número que identifica qual índice e calibrador deve ser utilizado,
criterion = identificação do critério utilizado para selecionar as regiões HII,
save_table = True para salvar a tabela, False caso não deseje,
save_graph = True para salvar o gráfico, False caso não deseje,
show_graph = True para exibir o gráfico, False caso não deseje.
)

```

O parâmetro *name* é o nome da galáxia e deve ser do tipo string. Os parâmetros *ra0*, *dec0*, *pa*, *ba*, *d* e *re* são valores constantes e devem ser do tipo float. Os parâmetros *HIIREGID*, *ra*, *dec*, *EWHa*, *Hb4861*, *eHb4861*, *Ha6562*, *eHa6562*, *OIII5006*, *eOIII5006*, *NII6583*, *eNII6583*, *SII6716*, *eSII6716*, *SII6730* e *eSII6730* devem ser do tipo array. O parâmetro *calibrator* deve assumir os valores 1, 2, 3, 4 ou 5, de acordo com o índice e calibrador a ser utilizado no cálculo da abundância (ver seção 3.2). O parâmetro *criterion* deve ser uma string, identificada como *KE01*, *KE6A*, *KA03*, *ST06* ou *CF11* de acordo com o critério desejado para selecionar as regiões HII (ver seção 3.3). Os parâmetros *save\_table*, *save\_graph* e *show\_graph* são booleanos, onde assume True ou False, a critério do usuário. Para uma explicação mais detalhada de todos esses parâmetros de entrada veja a seção 3 abaixo.

É importante ressaltar que caso o usuário não possua o array *HIIREGID*, por exemplo, é possível criar um array do tipo *HIIREGID = np.zeros(len(amostra))*. No entanto, é necessária atenção para usar isso com os outros parâmetros, pois pode calcular de maneira errada as abundâncias.

Ao final da tarefa, o script retorna um dicionário contendo os parâmetros do ajuste do melhor modelo. Contudo, para que isso ocorra, é necessário atribuir o resultado a uma variável, conforme o exemplo abaixo:

```

result = fit_OH.fit_final(name, HIIREGID, ra, ra0, dec, dec0, pa, ba, d, re, EWHa,
Hb4861, eHb4861, Ha6562, eHa6562, OIII5006, eOIII5006, NII6583, eNII6583, calibrator,
criterion, save_table, save_graph, show_graph)

```

E por fim os parâmetros do ajuste podem ser acessados como:

```

galaxy = result['galaxy']
b0 = result['b0']
eb0 = result['eb0']
a1 = result['a1']
ea1 = result['ea1']

```

```

h1 = result['h1']
eh1 = result['eh1']
a2 = result['a2']
ea2 = result['ea2']
h2 = result['h2']
eh2 = result['eh2']
a3 = result['a3']
ea3 = result['ea3']

```

Na seção 4 é apresentado um exemplo de como utilizar esse script. Para isso, será necessário realizar o download dos arquivos “HII.NGC0309.flux\_elines.diff\_corr.csv”, “data\_NGC0309.csv” e “example.py”, disponíveis no GitHub.

### 3 Explicação passo a passo das tarefas

O funcionamento por trás desse script está dividido em seis etapas. Cada etapa corresponde a um arquivo que realiza uma função específica. Abaixo é apresentada uma explicação das informações necessárias que cada função necessita e o que ela retorna.

#### 3.1 distance.py

O arquivo distance.py retorna as distâncias deprojetadas de cada região HII da galáxia normalizada pelo raio efetivo da galáxia, de acordo com [Scarano et al. \(2008\)](#). Abaixo são apresentadas as informações necessárias para o cálculo, bem como as unidades específicas de cada grandeza.

```

distance.distances(
ra = array da ascensão reta de cada região HII em graus,
ra0 = ascensão reta do centro da galáxia em graus,
dec = array da declinação de cada região HII em graus,
dec0 = declinação do centro da galáxia em graus,
pa = ângulo de posição em graus,
ba = razão entre os semi-eixos menor e maior da galáxia,
d = distância da galáxia em Mpc,
re = raio efetivo da galáxia em kpc
)

```

Essa função retornará um array com a distância  $r$  de cada região HII em relação ao centro da galáxia, normalizada pelo raio efetivo.

#### 3.2 abundance.py

Essa função fará a correção da extinção das linhas de emissão das regiões HII. Internamente, é calculado o fator de extinção para cada linha de emissão ([Cavichia et al., 2010](#)). Em seguida, o excesso de cor e a correção de cada linha são realizadas ([Cavichia, 2008](#)). Neste caso, as correções das linhas são feitas em termos de  $H\beta$ , de tal maneira que os índices O3N2 e N2 são calculados da seguinte maneira:

$$O3N2 = \log \left( \frac{OIII}{H\beta} \frac{H\alpha}{H\beta} \frac{H\beta}{NII} \right) \quad \text{e} \quad N2 = \log \left( \frac{NII}{H\beta} \frac{H\beta}{H\alpha} \right) \quad (1)$$

Com base nesses índices, para cada calibrador é estimado um intervalo de valores válido, ou seja, o calibrador PP04 ([Pettini & Pagel, 2004](#)) com os índices N2 e O3N2 é válido somente dentro do intervalo

$-2.5 < N2 < -0.3$  e  $-1.0 < O3N2 < 1.9$ , respectivamente. O calibrador M13 (Marino et al., 2013) com os índices N2 e O3N2 é válido somente dentro do intervalo  $-1.6 < N2 < -0.2$  e  $-1.1 < O3N2 < 1.7$ , respectivamente. Para maiores detalhes consulte Marino et al. (2013). No caso do calibrador D16 (Dopita et al., 2016), a advertência é que a calibração é descrita no paper como quase linear até uma abundância de  $12 + \log(O/H) = 9.05$ .

Além disso, os fluxos são limitados com base em uma distribuição gaussiana, onde desconsideramos regiões que apresentaram um erro no fluxo maior que  $3\sigma$  da largura total à meia altura da gaussiana ajustada.

Por fim, as abundâncias são estimadas conforme o interesse do usuário. Abaixo estão as informações necessárias para que este script realize as funções:

```
abundance.abundance(
name = nome da galáxia (sem espaços),
r = distância de cada região HII calculada em distance.py,
HIIREGID = array com o ID de cada região HII,
Hb4861 = array com o fluxo de H$\beta$,
eHb4861 = array com o erro do fluxo de H$\beta$,
Ha6562 = array com o fluxo de H$\alpha$,
eHa6562 = array com o erro do fluxo de H$\alpha$,
OIII5006 = array com o fluxo de OIII5006,
eOIII5006 = array com o erro do fluxo de OIII5006,
NII6583 = array com o fluxo de NII6583,
eNII6583 = array com o erro do fluxo de NII6583,
SII6716 = array com o fluxo de SII6716,
eSII6716 = array com o erro do fluxo de SII6716,
SII6730 = array com o fluxo de SII6730,
eSII6730 = array com o erro do fluxo de SII6730,
calibrador = número que identifica qual índice e calibrador deve ser utilizado.
)
```

Até o momento, existem cinco opções de calibradores, apresentados abaixo:

- 1 - PP04 com O3N2
- 2 - PP04 com N2
- 3 - M13 com O3N2
- 4 - M13 com N2
- 5 - D16

Por fim, o script retornará arrays da abundância com o respectivo erro, além das linhas  $H\alpha$ , OIII5006 e NII6583 corrigidas. Um arquivo "nome da galáxia".csv é salvo no diretório "tabelas" contendo a ID, a distância  $r$  normalizada pelo raio efetivo e a largura equivalente de  $H\alpha$  de cada região HII. Também são salvas as linhas  $H\alpha$ , OIII5006, NII6583, SII6716 e SII6730 corrigidas, com os respectivos erros, e as abundâncias calculadas para todos os calibradores. Essa tabela será salva no diretório "tables" (criado automaticamente) identificado como "nome da galáxia.csv".

### 3.3 criteria.py

O arquivo criteria.py seleciona, dentre todas as possíveis regiões HII, aquelas que atendem aos critérios definidos para regiões HII de acordo com os diferentes critérios. Até o momento, cinco diferentes critérios, propostos por diferentes autores, estão implementados, sendo eles Kewley et al. (2001), Kewley et al.

(2001) com  $\text{EWH}_\alpha > 6 \text{ \AA}$ , [Kauffmann et al. \(2003\)](#), [Stasińska et al. \(2006\)](#) e [Cid Fernandes et al. \(2011\)](#). Esses critérios dependem, basicamente, das linhas  $\text{H}\alpha$ , OIII e NII corrigidas e de  $\text{EWH}_\alpha$ . Sendo assim, as informações necessárias para rodar esse arquivo serão:

```
criteria.points(
name = nome da galáxia (sem espaços),
criterion = identificador do critério usado para selecionar as regiões HII,
r = distância de cada região HII calculada em distance.py,
OH = abundância de cada região calculada em abundance.py,
OH_err = erro da abundância de cada região calculado em abundance.py,
EWHa = array da largura equivalente da região HII em Ångströms (\AA),
Ha6562_cor = array da linha H$\alpha$ corrigida proveniente de abundance.py,
OIII5006_cor = array da linha OIII5006 corrigida proveniente de abundance.py,
NII6583_cor = array da linha NII6583 corrigida proveniente de abundance.py,
calibrator = número que identifica qual índice e calibrador devem ser usados,
save_table = opção para salvar uma tabela contendo r, OH e eOH para o calibrador e
critério específicos.
)
```

Os critérios devem ser escolhidos com base nos critérios disponíveis abaixo.

**KE01** - [Kewley et al. \(2001\)](#)

**KE6A** - [Kewley et al. \(2001\)](#) com  $\text{EWH}_\alpha > 6 \text{ \AA}$

**KA03** - [Kauffmann et al. \(2003\)](#)

**ST06** - [Stasińska et al. \(2006\)](#)

**CF11** - [Cid Fernandes et al. \(2011\)](#)

O arquivo `criteria.py` retornará arrays com a distância  $r$ , a abundância  $OH$  e o erro da abundância  $eOH$ , de acordo com o critério escolhido. Neste caso, para cada critério escolhido, o número de regiões HII pode ser maior ou menor, o qual pode impactar diretamente no ajuste do gradiente de abundância. Para uma melhor explicação sobre isso, consultar as seções 3.2, 4.1 e 5 de [Cardoso et al. \(2025\)](#).

Caso seja de interesse do usuário, é possível salvar uma tabela que contenha  $r$ ,  $OH$  e  $eOH$  para o calibrador e critério escolhido pelo usuário. Para isso, marque `save_table = True` e essa tabela será salva no diretório “tabelas\_criteria” (criado automaticamente).

### 3.4 models.py

Neste arquivo são realizados os ajustes dos gradientes de abundância de oxigênio. Para o caso do ajuste do perfil linear único é utilizado a biblioteca `statsmodels.api`. Para os perfis com uma ou duas quebras é utilizado a biblioteca `piecewise_regression` ([Pilgrim, 2021](#)).

A biblioteca `piecewise_regression` é capaz de realizar ajustes para  $n$  quebras no gradiente. Aqui, como nosso interesse é no máximo duas quebras, já deixamos fixado no script que será realizado o ajuste de apenas uma e duas quebras. Além disso, definições como `min_distance_to_edge = 0.05`, `start_values = [0.5, 1.5]` e `min_distance_between_breakpoints = 0.20` foram fixadas para evitar ajustes não realistas. Vale ressaltar que esses valores podem ser alterados dentro do arquivo `models.py`, caso seja de interesse do usuário. Conforme [Cardoso et al. \(2025\)](#), para cada ajuste foi realizado um *bootstrap* de 2000, para escapar do mínimo global. Neste script é realizado um *bootstrap* de apenas 200 e, caso seja de interesse do usuário, esse valor também pode ser alterado dentro do arquivo `models.py`. Para maiores informações sobre a biblioteca `piecewise_regression`, consultar [Pilgrim \(2021\)](#).

Nesta etapa, cada um dos três perfis serão ajustados, seguindo os modelos dados pelas expressões 4, 5 e 6 em [Cardoso et al. \(2025\)](#). A escolha do melhor modelo é obtida pelo critério de Akaike (AIC, [Akaike, 1973](#)). Para os casos em que a razão entre os pontos observados e o número de parâmetros livres é menor que 40, é aplicada uma correção ao AIC, conforme [Narisetty \(2020\)](#). Para maiores detalhes, consultar a seção 3.2 em [Cardoso et al. \(2025\)](#).

Para rodar este script são necessárias as seguintes informações:

```
models.fit_models(
x_array = array de distâncias r obtidas em criteria.py,
y_array = array de abundâncias OH obtidas em criteria.py,
ey_array = array de erros de abundância eOH obtidos em criteria.py.
)
```

Por fim, esse script retornará um dicionário contendo informações da distância  $r$ , da abundância  $OH$  e do erro da abundância  $eOH$ . Além disso, retornará a informação do melhor modelo ajustado, ou seja, aquele que apresentou o menor valor de AIC, bem como os valores de AIC de cada modelo ajustado. Também são retornados os coeficientes dos ajustes de acordo com as equações 4, 5 e 6 em [Cardoso et al. \(2025\)](#) e seus respectivos erros. Nesse ponto, é definido o coeficiente  $a_2$  como o coeficiente angular do gradiente negativo principal. Os coeficientes  $a_1$  e  $a_3$  são referentes aos coeficientes angulares da região interna e externa, respectivamente.  $h_1$  e  $h_2$  são as posições em que ocorrem as quebras no gradiente e  $b_0$  é o coeficiente linear. Para o caso linear único, por exemplo, os valores de  $a_1 = h_1 = h_2 = a_3 = 0.0$ .

### 3.5 plot.py

Este arquivo fará o gráfico do gradiente de abundância de oxigênio com o fit do melhor ajuste para o calibrador e critério escolhido. Este script recebe as informações do dicionário obtido em 3.4 e usa essas informações para gerar o gráfico. Abaixo são apresentadas as informações para gerar o gráfico.

```
plot.plotar_modelo(
results_dict = dicionário retornado em models.py,
name = nome da galáxia (sem espaços),
criterion = identificador do critério usado para selecionar as regiões HII,
calibrator = número que identifica qual índice e calibrador usar,
save_graph = opção para salvar o gráfico,
show_graph = opção para exibir o gráfico.
)
```

Por fim, o gráfico é gerado e cabe ao usuário escolher se deseja visualizá-lo e/ou salvá-lo. Para isso, marque “save\_graph = True” e “show\_graph = True”. Além disso, será retornado um dicionário contendo o nome da galáxia e os coeficientes dos ajustes do melhor modelo. Cabe ao usuário decidir se quer salvar esses coeficientes em alguma tabela e como fazê-lo.

## 4 Exemplo

Para rodar esse script modelo é necessário fazer o download dos sete arquivos: distance.py, abundance.py, criteria.py, models.py, plot.py, fit\_OH.py e example.py. Além disso, é necessário fazer o download dos arquivos HII.NGC0309.flux\_elines.diff\_corr.csv e data.NGC0309.csv. Após o download, salve todos os arquivos em um único diretório. Em seguida, abra o arquivo example.py no spyder (caso prefira o jupyter notebook, pode ser necessário realizar algumas modificações no script) e rode esse script. O arquivo example.py é mostrado abaixo:

```
1 import fit_OH
```

```

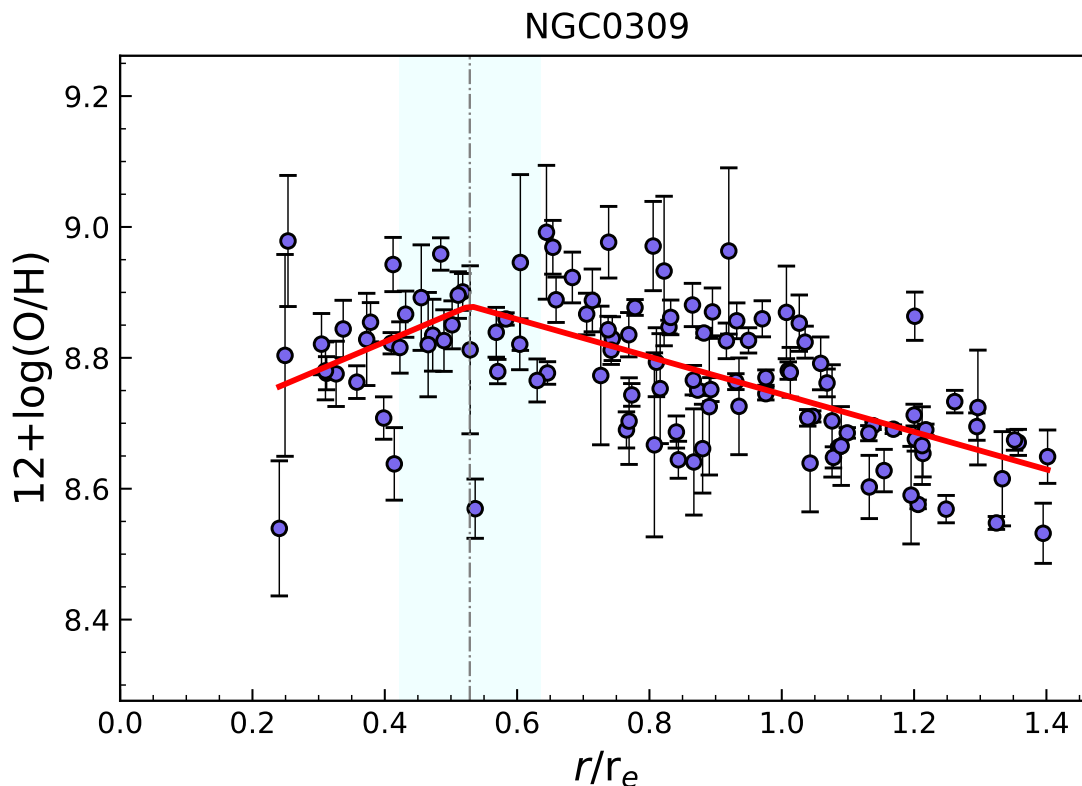
2 #####
3
4
5 galaxy_data = pd.read_csv('data_NGC0309.csv')
6
7 name = galaxy_data['galaxy'].iloc[0]
8 ra0 = galaxy_data['ra0'].iloc[0]
9 dec0 = galaxy_data['dec0'].iloc[0]
10 pa = galaxy_data['pa'].iloc[0]
11 ba = galaxy_data['ba'].iloc[0]
12 re = galaxy_data['re'].iloc[0]
13 d = galaxy_data['dist'].iloc[0]
14
15 #####
16
17 flux = pd.read_csv('HII.NGC0309.flux_elines.csv')
18
19 ra = flux['RA']
20 dec = flux['DEC']
21 EWHa = flux['EWHa6562']
22 HIIREGID = flux['HIIREGID']
23 Hb4861 = flux['fluxHb4861']
24 eHb4861 = flux['e_fluxHb4861']
25 OIII5006 = flux['fluxOIII5006']
26 eOIII5006 = flux['e_fluxOIII5006']
27 Ha6562 = flux['fluxHa6562']
28 eHa6562 = flux['e_fluxHa6562']
29 NII6583 = flux['fluxNII6583']
30 eNII6583 = flux['e_fluxNII6583']
31 SII6716 = flux['fluxSII6716']
32 eSII6716 = flux['e_fluxSII6716']
33 SII6730 = flux['fluxSII6730']
34 eSII6730 = flux['e_fluxSII6730']
35
36 #####
37
38 calibrator = 1
39 criterion = 'KA03'
40 save_table = True
41 save_graph = True
42 show_graph = True
43
44 #####
45
46 results = fit_OH.fit_final(name, HIIREGID, ra, ra0, dec, dec0, pa, ba, d, re, EWHa
    , Hb4861, eHb4861, Ha6562, eHa6562, OIII5006, eOIII5006, NII6583, eNII6583,
    SII6716, eSII6716, SII6730, eSII6730, calibrator, criterion, save_table,
    save_graph, show_graph)
47
48 print(results)

```

Esse script fará o ajuste da galáxia NGC 0309, considerando o índice O3N2 com o calibrador PP04. O critério de seleção de regiões HII adotado é KA03 (Kauffmann et al., 2003). O script salva automaticamente a tabela NGC0309.csv no diretório “tables”, que contém as abundâncias para todos os calibradores disponíveis. Como save\_table = True e save\_graph = True, nos diretórios “tables.criteria” e “graphs” serão

salvos a tabela NGC0309\_KA03\_PP04\_O3N2.csv e o gráfico NGC0309\_KA03\_PP04\_O3N2.png, respectivamente (os diretórios “tables.criteria” e “graphs” são criados automaticamente). Além disso, como `show_graph = True`, o gráfico deve ser exibido no spyder. Por fim, o comando `print(results)` mostrará o dicionário que contém os dados dos ajustes do melhor modelo.

Ao final, o usuário deve obter o seguinte gráfico:



## References

- Akaike, H. 1973, Information Theory and an Extension of the Maximum Likelihood Principle (New York, NY: Springer New York), 199–213
- Cardoso, A. F. S., Cavichia, O., Mollá, M., & Sánchez-Menguiano, L. 2025, , 980, 45, doi: [10.3847/1538-4357/ad9eab](https://doi.org/10.3847/1538-4357/ad9eab)
- Cavichia, O. 2008, Master’s thesis, Universidade de São Paulo, São Paulo
- Cavichia, O., Costa, R. D. D., & Maciel, W. J. 2010, , 46, 159, doi: [10.48550/arXiv.1003.0416](https://doi.org/10.48550/arXiv.1003.0416)
- Cid Fernandes, R., Stasińska, G., Mateus, A., & Vale Asari, N. 2011, , 413, 1687, doi: [10.1111/j.1365-2966.2011.18244.x](https://doi.org/10.1111/j.1365-2966.2011.18244.x)
- Dopita, M. A., Kewley, L. J., Sutherland, R. S., & Nicholls, D. C. 2016, , 361, 61, doi: [10.1007/s10509-016-2657-8](https://doi.org/10.1007/s10509-016-2657-8)
- Kauffmann, G., Heckman, T. M., Tremonti, C., & et al. 2003, , 346, 1055, doi: [10.1111/j.1365-2966.2003.07154.x](https://doi.org/10.1111/j.1365-2966.2003.07154.x)



- Kewley, L. J., Dopita, M. A., Sutherland, R. S., Heisler, C. A., & Trevena, J. 2001, , 556, 121, doi: [10.1086/321545](https://doi.org/10.1086/321545)
- Marino, R. A., Rosales-Ortega, F. F., Sánchez, S. F., & et al. 2013, , 559, doi: [10.1051/0004-6361/201321956](https://doi.org/10.1051/0004-6361/201321956)
- Narisetty, N. N. 2020, in Handbook of Statistics, Vol. 43, Principles and Methods for Data Science, ed. A. S. R. Srinivasa Rao & C. R. Rao (Elsevier), 207–248, doi: <https://doi.org/10.1016/bs.host.2019.08.001>
- Pettini, M., & Pagel, B. E. J. 2004, , 348, L59–L63, doi: [10.1111/j.1365-2966.2004.07591.x](https://doi.org/10.1111/j.1365-2966.2004.07591.x)
- Pilgrim, C. 2021, Journal of Open Source Software, 6, 3859, doi: [10.21105/joss.03859](https://doi.org/10.21105/joss.03859)
- Scarano, S., Madsen, F. R. H., Roy, N., & Lépine, J. R. D. 2008, , 386, 963–972, doi: [10.1111/j.1365-2966.2008.13079.x](https://doi.org/10.1111/j.1365-2966.2008.13079.x)
- Stasińska, G., Cid Fernandes, R., Mateus, A., Sodré, L., & Asari, N. V. 2006, , 371, 972, doi: [10.1111/j.1365-2966.2006.10732.x](https://doi.org/10.1111/j.1365-2966.2006.10732.x)